

# Figurer i kapitel 6



Fig. 6.1



Fig. 6.5



Fig. 6.2



Fig. 6.6



Fig. 6.3

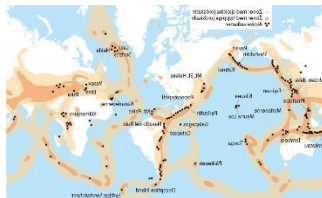


Fig. 6.9

Vulkan	Type	Land	Betjent	Aantal
Nevado del Ruiz	Højvulkan	Kolumbia	25000	1985
El Chichón	Højvulkan	Mexico	3500	1982
Lake Nyiragongo	Caisse	Demokratiske Rep. Congo	1746	1976
Pinatubo	Højvulkan	Filippinerne	847	1991
Mwezi	Højvulkan	Indonesien	331	2010
Népalungo	Højvulkan	DR Congo	30	1977
Népalungo	Højvulkan	DR Congo	30	1977
Ostia	Højvulkan	Japan	57	2014
St. Helens	Højvulkan	USA	57	1980
Unzen	Højvulkan	Japan	43	1991
Nebi Volcano	Højvulkan	Eritrea	31	2011
Socorro Hills	Højvulkan	USA	19	1997
Galarung	Højvulkan	Indonesien	18	1942
Guagua Pichincha	Højvulkan	Indonesien	16	2014
Gullfoss	Højvulkan	Denmark	9	1993
Mount	Højvulkan	Chile	5	1971
Iceland	Højvulkan	Iceland	4	2007
Etna	Højvulkan	Iceland	1	1973

Fig. 6.4

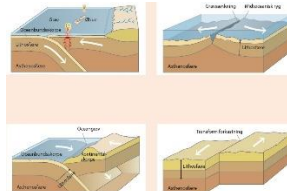


Fig. 6.10

VEI	Beskrivelse	Rugseje	Volumen	Hypsighed	Eksempel
0	Ikke-eksplosiv	<100 m	1000 m <sup>3</sup>	daglig	Kilauea
1	mild	100-1000 m	10.000 m <sup>3</sup>	daglig	Stromboli
2	eksplosiv	1-5 km	1 mio. m <sup>3</sup>	ugentlig	Galeras, 1992
3	alvorlig	3-15 km	10 mio. m <sup>3</sup>	årlig	Ruiz, 1985
4	destruktiv	10-25 km	100 mio. m <sup>3</sup>	10-årlig	Galunggung, 1982
5	voldsom	>25 km	1 km <sup>3</sup>	100-årlig	St. Helens, 1981
6	kolossal	>25 km	10 km <sup>3</sup>	100-årlig	Krakatau, 1883
7	super-kolossal	>25 km	100 km <sup>3</sup>	1000-årlig	Tambora, 1815
8	mega-kolossal	>25 km	1000 km <sup>3</sup>	10.000-årlig	Yellowstone, 2 Ma

# Figurer i kapitel 6



Fig. 6.11

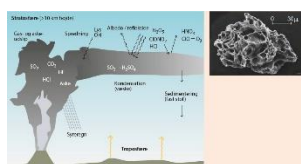


Fig. 6.20

	Geotermiske ressourcer med høj temperatur egnet til elektricitetsproduktion angivet i TW/år	Geotermiske ressourcer med lav temperatur egnet til direkte varmeoproduktion angivet i TW/år
Europa	1.830	102.500
Asien	2.970	89.000
Afrika	1.220	67.000
Nordamerika	1.330	34.000
Sydamerika	2.800	66.500
Stillehavet	1.050	30.500
Hele verden	11.200	389.000

Fig. 6.12

Bjergart	Silicium-indhold ( $\text{SiO}_2$ )	Farve	Mineralsammenstilling	Viskositet af magma
Basalt	45-52 %	Sort	Feldspat, pyroxen, olivin	Tyndtflydende
Andesit	57-63 %		Feldspat, pyroxen	Tyndt/sejtflydende
Rhyolit	69-78 %		Feldspat, kvarts	Sejtflydende
Obsidian	69-78 %	Sort/klar	Vulkansk glas, kun få mineraler	Sejtflydende

Fig. 6.21

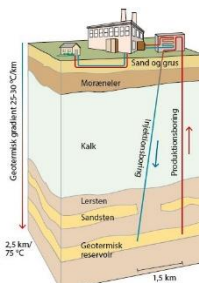


Fig. 6.17

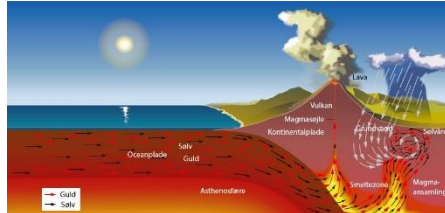
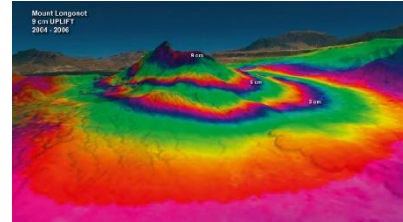


Fig. 6.22





**Fig. 6.1**

Geodetektiven – Casebaserede forløb i naturgeografi • © L&R Uddannelse 2019 • Illustration: Jørgen  
Strunge  
ISBN 978-87-7066-863-7



Fig. 6.2

Geodetektiven – Casebaserede forløb i naturgeografi • © L&R Uddannelse 2019 • Illustration: Jørgen Strunge  
ISBN 978-87-7066-863-7

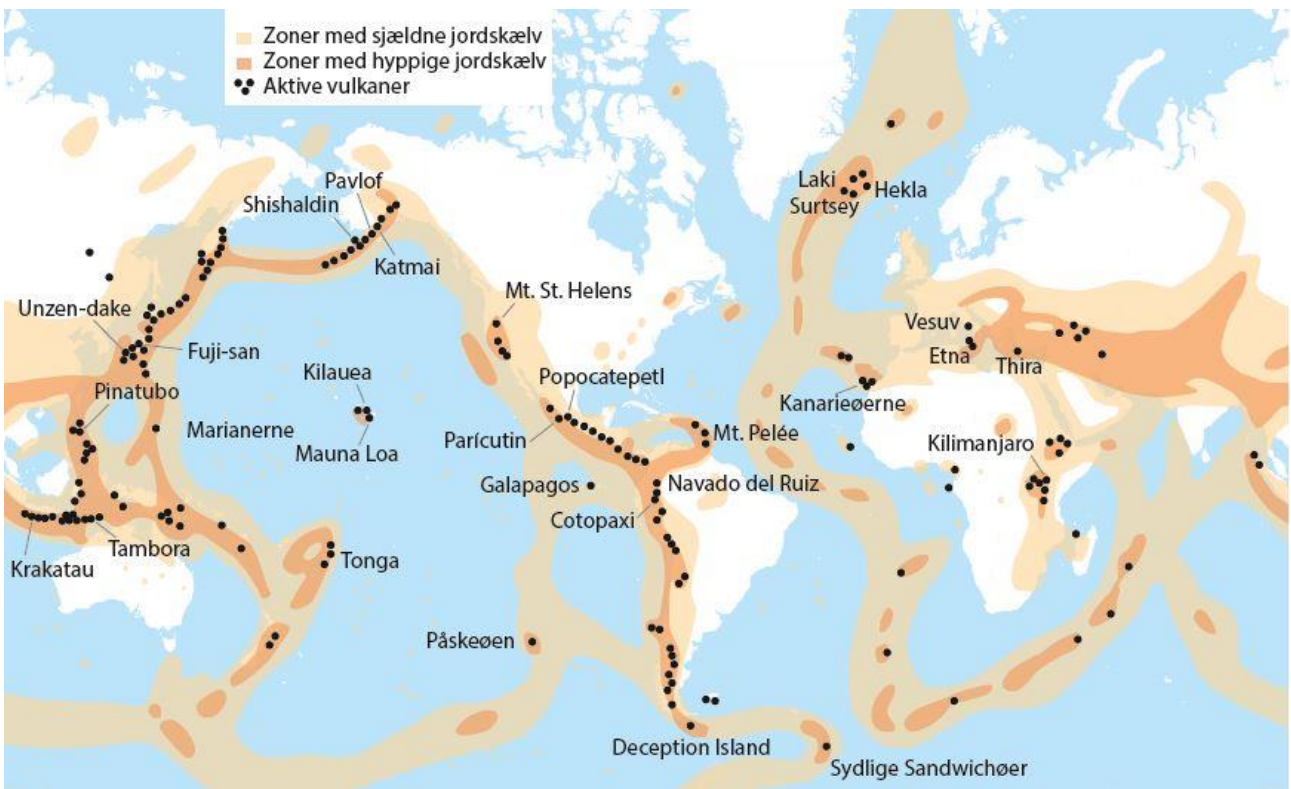


Fig. 6.3

Geodetektiven – Casebaserede forløb i naturgeografi • © L&R Uddannelse 2019 • Illustration: Jørgen Strunge  
ISBN 978-87-7066-863-7

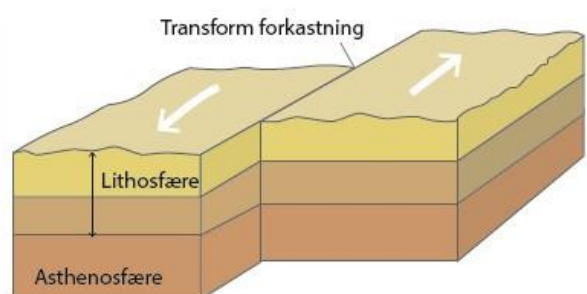
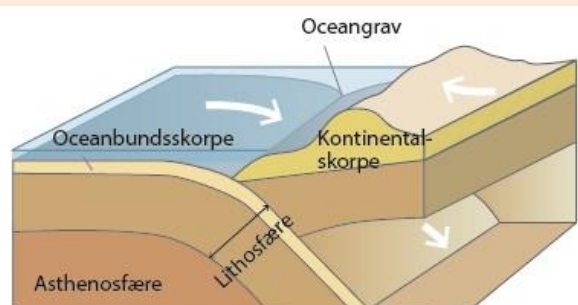
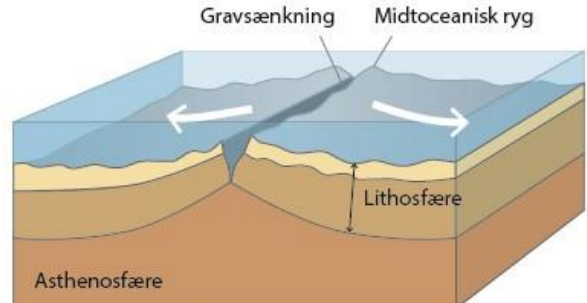
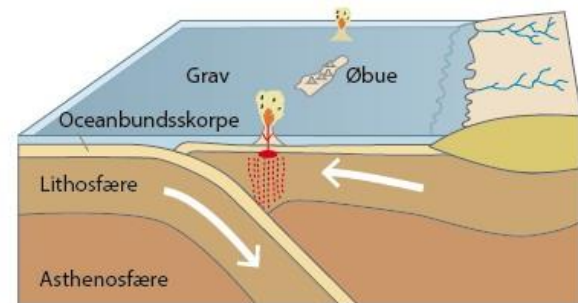


Fig. 6.4

Geodetektiven – Casebaserede forløb i naturgeografi • © L&R Uddannelse 2019 • Illustration: Jørgen Strunge  
ISBN 978-87-7066-863-7

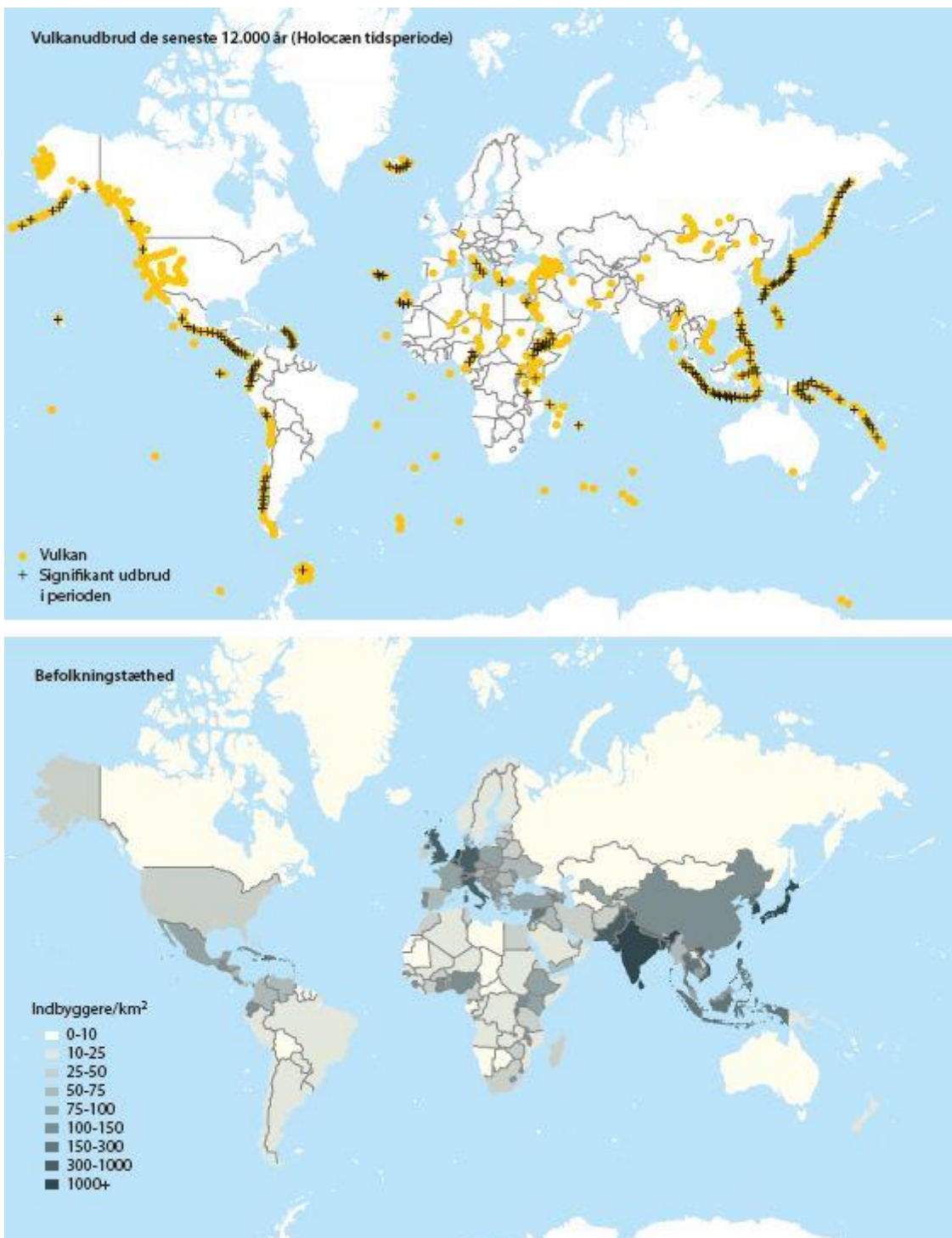


Fig. 6.5

Geodetektiven – Casebaserede forløb i naturgeografi • © L&R Uddannelse 2019 • Illustration: Jørgen Strunge  
ISBN 978-87-7066-863-7

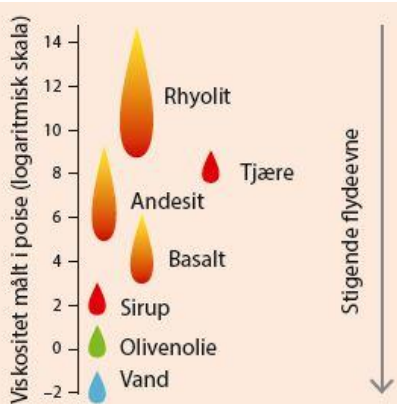
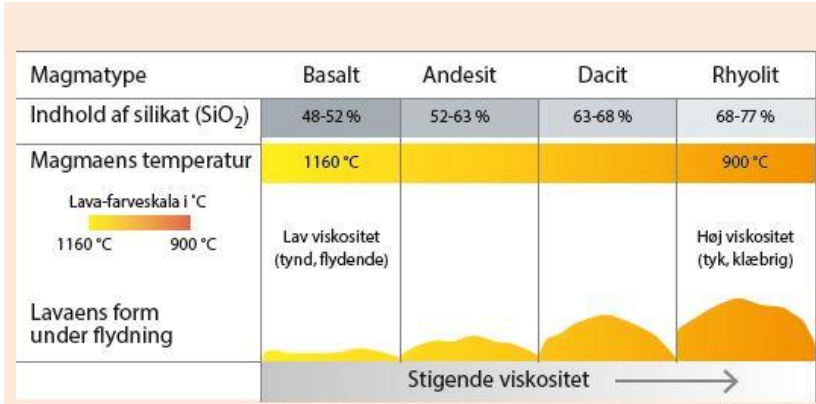


Fig. 6.6

Geodetektiven – Casebaserede forløb i naturgeografi • © L&R Uddannelse 2019 • Illustration: Jørgen Strunge  
ISBN 978-87-7066-863-7



Vulkan	Type	Land	Dødstal	Årstal
Nevado del Ruiz	Keglevulkan	Colombia	23000	1985
El Chichón	Keglevulkan	Mexico	3500	1982
Lake Nyos	Caldera	Cameroun	1746	1986
Pinatubo	Keglevulkan	Filipinerne	847	1991
Merapi	Keglevulkan	Indonesien	353	2010
Nyiragongo	Keglevulkan	DR Congo	245	2002
Nyiragongo	Keglevulkan	DR Congo	70	1977
Ontake	Keglevulkan	Japan	57	2014
St. Helens	Keglevulkan	USA	57	1980
Unzen	Keglevulkan	Japan	43	1991
Nabro Volcano	Keglevulkan	Eritrea	31	2011
Soufrière Hills	Keglevulkan	Caribien	19	1997
Galunggung	Keglevulkan	Indonesien	18	1982
Sinabung	Keglevulkan	Indonesien	16	2014
Galeras	Keglevulkan	Colombia	9	1993
Hudson	Keglevulkan	Chile	5	1971
Jebel at Tair	Keglevulkan	Yemen	4	2007
Eldfell	Keglevulkan	Island	1	1973

Fig. 6.9

Geodetektiven – Casebaserede forløb i naturgeografi • © L&R Uddannelse 2019 • Illustration: Jørgen Strunge  
ISBN 978-87-7066-863-7



VEI	Beskrivelse	Røgsøjle	Volumen	Hyppighed	Eksempel
0	ikke-eksplosiv	<100 m	1000 m <sup>3</sup>	daglig	Kilauea
1	mild	100-1000 m	10.000 m <sup>3</sup>	daglig	Stromboli
2	eksplosiv	1-5 km	1 mio. m <sup>3</sup>	ugentlig	Galeras, 1992
3	alvorlig	3-15 km	10 mio. m <sup>3</sup>	årlig	Ruiz, 1985
4	destruktiv	10-25 km	100 mio. m <sup>3</sup>	10-årlig	Galunggung, 1982
5	voldsom	>25 km	1 km <sup>3</sup>	100-årlig	St. Helens, 1981
6	kolossal	>25 km	10 km <sup>3</sup>	100-årlig	Krakatau, 1883
7	super-kolossal	>25 km	100 km <sup>3</sup>	1000-årlig	Tambora, 1815
8	mega-kolossal	>25 km	1000 km <sup>3</sup>	10.000-årlig	Yellowstone, 2 Ma

Fig. 6.10

Geodetektiven – Casebaserede forløb i naturgeografi • © L&R Uddannelse 2019 • Illustration: Jørgen Strunge  
ISBN 978-87-7066-863-7

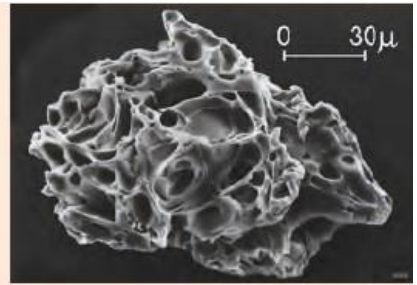
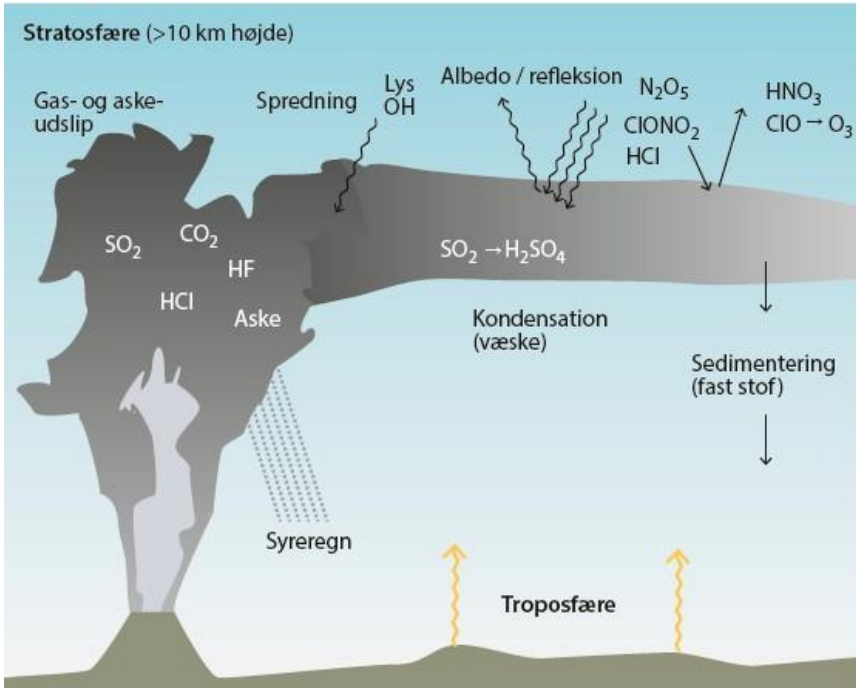


Fig. 6.11

Geodetektiven – Casebaserede forløb i naturgeografi • © L&R Uddannelse 2019 • Illustration: Jørgen  
Strunge  
ISBN 978-87-7066-863-7



Bjergart	Silicium-indhold ( $\text{SiO}_2$ )	Farve	Mineralsammensætning	Viskositet af magma
Basalt	45-52 %	Sort	Feldspat, pyroxen, olivin	Tyndtflydende
Andesit	57-63 %		Feldspat, pyroxen	Tyndt/sejtflydende
Rhyolit	69-78 %		Feldspat, kvarts	Sejtflydende
Obsidian	69-78 %	Sort/klar	Vulkansk glas, kun få mineraler	Sejtflydende

**Fig. 6.12**

Geodetektiven – Casebaserede forløb i naturgeografi • © L&R Uddannelse 2019 • Illustration: Jørgen

Strunge

ISBN 978-87-7066-863-7

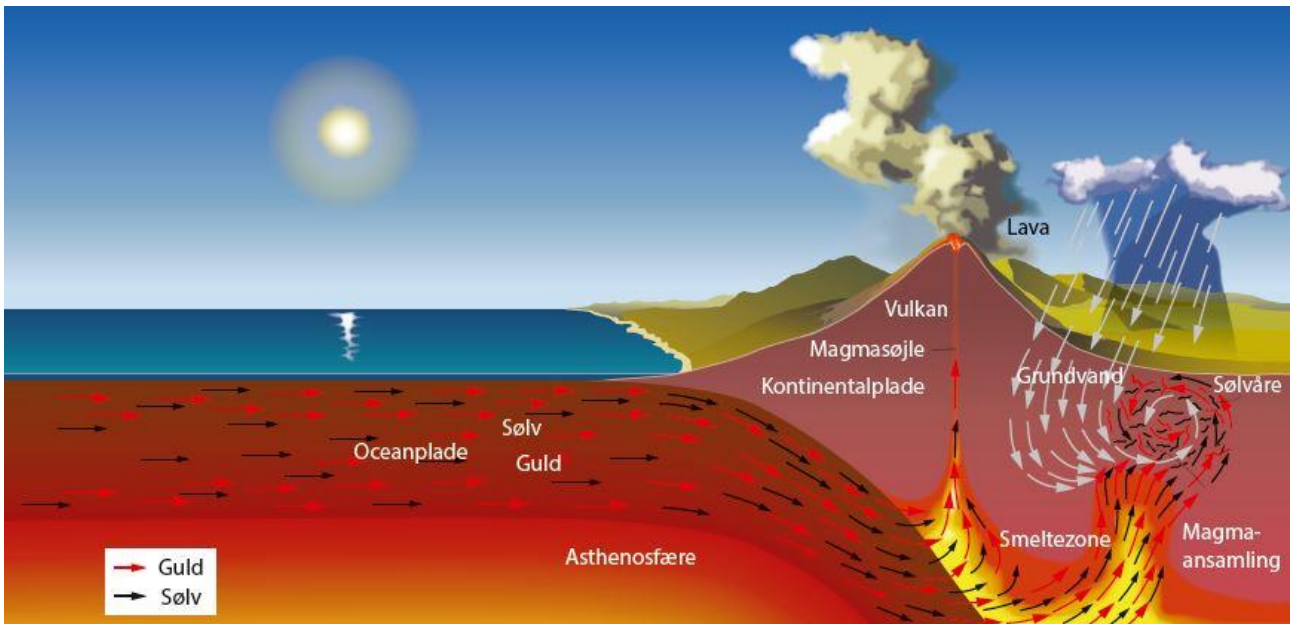


Fig. 6.17

Geodetektiven – Casebaserede forløb i naturgeografi • © L&R Uddannelse 2019 • Illustration: Jørgen  
Strunge  
ISBN 978-87-7066-863-7

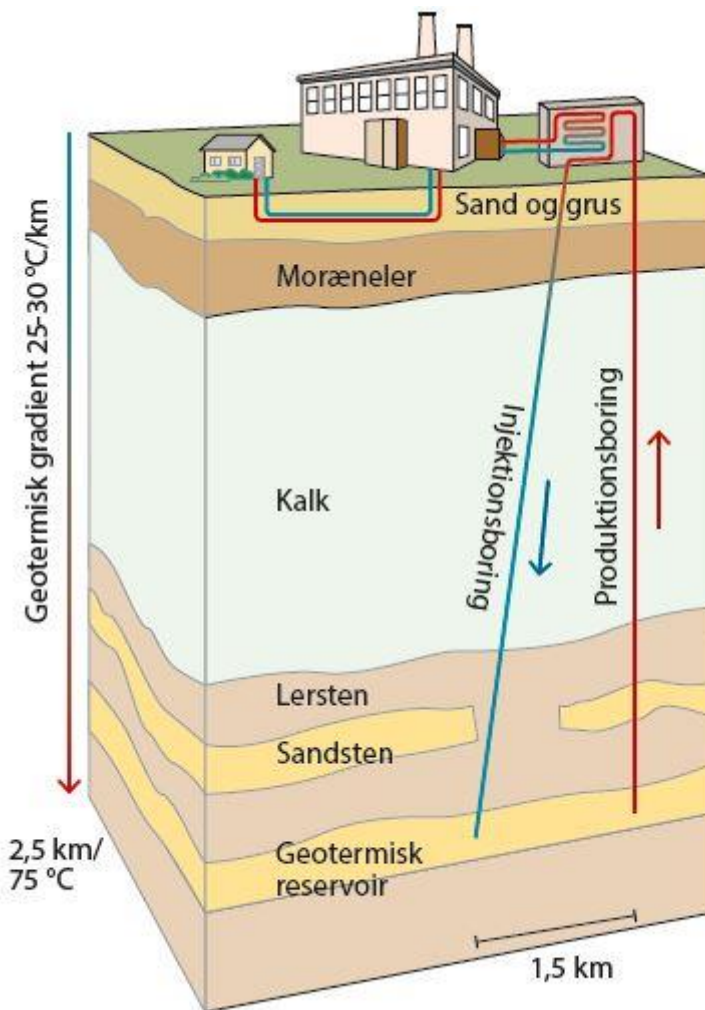


	Geotermiske ressourcer med høj temperatur egnet til elektri- citsproduktion angivet i TWt/år	Geotermiske ressourcer med lav temperatur egnet til direkte varmeproduktion angivet i TWt/år
Europa	1.830	102.500
Asien	2.970	89.000
Afrika	1.220	67.000
Nordamerika	1.330	34.000
Sydamerika	2.800	66.500
Stillehavet	1.050	30.500
<b>Hele verden</b>	<b>11.200</b>	<b>389.000</b>

Fig. 6.20

Geodetektiven – Casebaserede forløb i naturgeografi • © L&R Uddannelse 2019 • Illustration: Jørgen  
Strunge

ISBN 978-87-7066-863-7



**Fig. 6.21**

Geodetektiven – Casebaserede forløb i naturgeografi • © L&R Uddannelse 2019 • Illustration: Jørgen Strunge  
ISBN 978-87-7066-863-7

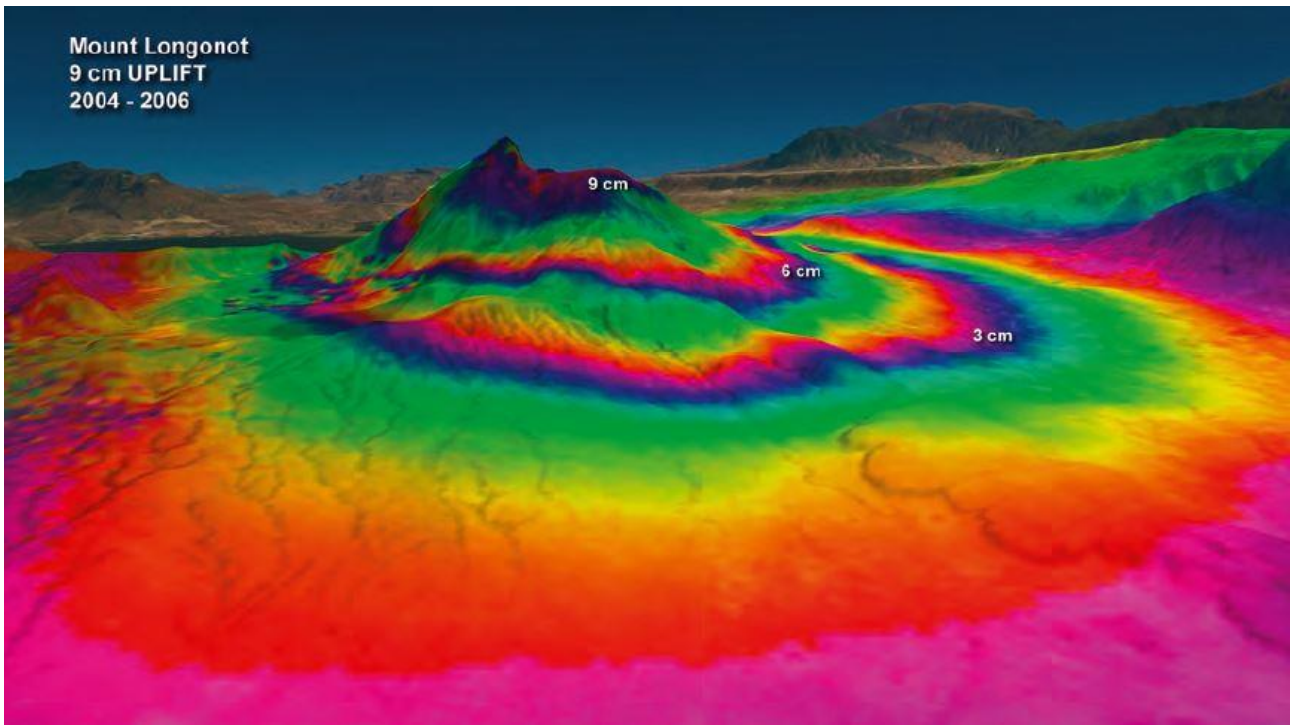


Fig. 6.22

Geodetektiven – Casebaserede forløb i naturgeografi • © L&R Uddannelse 2019 • Illustration: Jørgen Strunge  
ISBN 978-87-7066-863-7